

韓牛의 精子發生에 관한 研究

李載洪·李成鎬*·朴泳碩

全南大學校 農科大學 獸醫學科·公州專門大學*

(1986.7.23 接受)

Studies on Spermatogenesis in Korean Native Cattle

Jae-hong Lee, Seong-ho Lee* and Young-seok Park

Gong-joo National Junior College*

Department of Veterinary Medicine, College of Agriculture, Chonnam National University

(Received July 23th, 1986)

Abstract: The cycle of the seminiferous epithelia in the testis of mature Korean native cattle was divided into twelve stages, using criteria the morphological changes in the acrosomic system and the nuclei of developing spermatids and germ cells.

The results were summarized as follows:

1. The minimum number of type A spermatogonia were the average of 1.8 in both at stages I and VI, while maximum numbers were the average of 4.2 at stage XII. Some type A spermatogonia divided at stage XII to produce the type intermediate(IN) spermatogonia at following stage I. The intermediate type spermatogonia divided at stage IV to produce the type B spermatogonia at stage V.
2. The type B spermatogonia divided at stage VII to produce the preleptotene primary spermatocytes at stage VIII. The pachytene primary spermatocytes divided at stage XI to produce the secondary spermatocytes at stage XII. The secondary spermatocytes observed at stag XII divided to give rise to the round spermatids at following stage I. Each numbers of the first spermatocytes and of spermatids were almost constant, respectively, through the cycle of the seminiferous epithelium.
3. The relative frequencies of each stage among stages I to XII of the cycle of the seminiferous epithelia were 6.1, 3.7, 5.2, 7.8, 2.2, 3.3, 13.8, 18.4, 11.8, 7.2, 18.1% and 2.4%, respectively.

緒論

精子發生部位인 精細管上皮의 細胞組成과 精子發生週期에 관한 연구는 여러 學者들에 의하여 오랫동안 각종 動物을 대상으로 多樣하게 이루어졌다. 現在 精細管上皮의 精子發生週期를 두 가지 樣式으로 大別하고 있는데 하나는 Swierstra(1968)에 의해 째지, Swierstra와

Foote(1963)에 의해 토끼, Amann(1962a, b)에 의해 소, 그리고 Roosen-Runge와 Giesel(1950)에 의해 쥐를 대상으로 精細胞系 核의 位置와 核分裂 그리고 形態變化 등에 따라서 8期로 區分하여 한 週期로 하였다. 다른 하나는 Berndston과 Desjardins(1974), Clermont와 Leblond(1955), Clermont와 Perey(1957), Clermont(1972), Oakberg(1956) 그리고 Leblond와 Clermont(19

* 本研究는 1985年度 韓國科學財團 研究費에 의하여 수행되었음.

52a, b)에 의하여 각종 哺乳動物의 精細管上皮를 分類하는 方法으로서 發生중인 精子細胞에 출현된 acrosome系의 形態變化를 중심으로 한 週期를 14期까지 細分하여 관찰하였다. 더우기 精子細胞에 나타난 acrosome의 動態는 精祖細胞의 再生成이나 호르몬의 効果 그리고 精子發生을 妨害하는 物質을 연구하는데 重要함이 Clermont(1972), Steinberger(1971), Swierstra等 (1964)에 의하여 立證되었다. 또한 性成熟期를 前後한 精細管上皮의 季節에 따른 차이에 대해서 Curtis와 Amann (1981)이 頃소에서 그리고 Clermont와 Perey(1957)는 흰쥐를 대상으로 조사해서 보고하였다. 近來 Wing와 Christensen(1982)은 흰쥐에 대하여 정밀하게 경세관 및 精子의 計測學의 研究를 하였다.

精子發生에 관하여는 가축 중에서 소가 對象動物로 많이 연구되어 왔으나 우리나라에서 飼育되고 있는 固有品種인 韓牛에 대한 보고는 없었다. 본 연구는 韓牛의 性成熟期中 精細管上皮에서의 精子發生週期를 精子細胞의 acrosome系의 形態學의變化를 基準으로 하여 細分하고 아울러 週期內 各期의 出現比와 細胞組成 등을 조사함으로써 소雄性生殖腺研究에 基礎資料를 얻고자 하였다.

材料 및 方法

試料 및 標本製作 : 본 조사에 쓰인 韓牛는 1985년 5月에 全南 光州市 陽山洞所在의 삼호畜産 屠畜場에서 屠殺한 것으로 生後 16~20個月齡, 體重 450~500kg되는 臨床的으로 健康한 牛 9頭에서 犀丸重量 400~450g 되는 것을 取하였다. 試料에 사용한 犀丸은 屠殺直後 採取하여 그 中央부에서 1cm³ 정도의 조직을 引出하고 白膜을 제거한 다음에 즉시 固定하였다.

犀丸組織을 10% 中性 formalin액에 24시간 또는 Zenker액에 12시간 고정한 후 수세, 탈수, paraffin包埋하고 5μm으로 薄切하였다. 10% formalin액에 고정한 조직은 Mayer's hematoxylin-eosin 염색을 하여 일반組織觀察에 사용하였고, 精子細胞의 觀察에는 PAS染色을 하였으며 이때 쓰인 Schiff's reagent는 Mc Manus法(1960)에 의하였으며 hematoxylin 염색을併行하였다.

觀察方法 : 精細管上皮는 Clermont와 Leblond(1955)가 각종 哺乳動物에 사용한 방법에 따라 PAS染色 후 觀察하였으며 精細管上皮의 週期는 Berndston과 Desjardins(1974), Clermont와 Perey(1957), Leblond와 Clermont(1952b)가 제시한 基準에 따라서 12期로 分類하였다. 精細管上皮의 各期마다 圓形 精細管 50개 이상, 총 670개를 取하여 각종 精細胞와 Sertoli細胞數를

계산하였으며 Sertoli細胞를 제외한 모든 精細胞數의 計算은 세포수의 정확을 기하기 위하여 Abercrombie公式(1946)에 의하여 核의 直徑에 따라서 구분하여 계산하였고, 本 調查에서는 $P = C \times \frac{T}{L+T}$ 의 公式을 適用하였다. 이 때 P: 세포핵의 當의 평균수, C: 세포핵의 관찰수, L: 核의 크기, T: 標本切片의 두께를 表示하였다. 精細管上皮 各 週期의 出現比는 各期마다 100개 이상의 圓形精細管 總 1,280개를 取하여 算出하였다. 細胞의 計測에는 Olympus製 eyepiece reticle 100等分을 사용하였으며 1,500倍로 檢鏡하였다.

結 果

精細管上皮週期의 12期別 細胞組成 : 韓牛 精細管上皮의 精子發生週期를 12期別로 觀察한 各種 精細胞의 出現率와 細胞核의 形態의 特徵을 Fig. 1에서 模式圖로 表示하였다.

第1期(Figs. 2, 8) : 精細管上皮에 나타난 週期의 初期이며 第2精母細胞에서 分化된 新生 精子細胞가 出現된 時期이다. 신생 精子세포는 경세관 内腔側에 多数 위치하고 있었으며 5μm정도의 球形의 核속에 2개 이상의 球形의 黃色核小體를 함유하고 있었다. 成熟한 精子細胞는 幼若한 精子細胞보다 더 腔側에 위치하였으며 櫟과 같은 모양의 頭部를 가졌고 그 길이는 6~7μm정도였으며 acrosome은 50%정도가 染色되어 赤褐色으로 관찰되었다. 미부는 그 길이가 약 20μm정도였다.

第1精母細胞는 肥糸期에 해당되고 精祖細胞와 精子細胞사이에 위치하였으며 약 7μm크기의 核을 가졌고 다른 期의 核보다 다소 작았다.

精細管上皮의 基底膜 가까이 少數의 A型精祖細胞와 더 많은 In型(中間型)精祖細胞가 관찰되었으며 前者는 약 8μm크기의 球形 혹은 橢圓形의 核을 가졌고, 核小體는 後者보다 커졌다. 後者는 약 6μm크기의 核을 가졌고 In型精細细胞는 核膜에 2, 3개의 染色質塊가 부착되어 있었다.

第2期 : 幼若한 精子細胞는 核의 한쪽에 미세한 黃色 2~3개의 proacrosome이 Golgi장치 속에 點狀으로 부착되어 있어서 이 期의 特徵을 보였다(Fig. 1). 기타의 精細细胞들은 第1期와 비슷한 樣相을 띠었으나 成熟한 精子細胞(Step. 13)는 腔側緣에 多數 並列되어 있었다.

第3期 : 精子細胞의 Golgi장치에는 第2期에서 관찰된 proacrosome이 뭉친 것으로 보이는 하나의 acrosome顆粒이 出現되었다(Fig. 1). 기타의 精細细胞들은 第1, 2期에서 관찰된 양상과 총사하였다.

第4期 : 球形의 精子細胞 核의 한쪽면에 水泡樣의

부착물이 있었고 이 부위가 핵膜에서 다소 凹陷되었으며 그 속에서 붉은 acrosome顆粒이 보였다(Fig. 1). 成熟精子細胞는 이전의 期보다 다소 커졌으며 頭部는 약 8 μm , 尾部는 25 μm 정도의 길이였고, 中片部가 관찰되었다. 이 세포는 腔側緣에 集束되어 並列하였다. 다른 精子細胞들은 이전의 期와 비슷하였으나 In型精粗細胞의 數가 증가되었다(Table. 1).

第5期: 이 期에 球形의 精子細胞의 核表面에는 head cap이 形成되기 시작한 特徵을 보였다. Head cap은 acrosome顆粒으로부터 核表面의 $\frac{1}{4} \sim \frac{1}{5}$ 정도를 围む 한 濃染된 부위로 관찰되었다(Fig. 1). 성숙 精子細胞는 Sertoli細胞에서 떨어져 이동하고 腔側緣에 並行하고 있음은 前期와 같았다. B型精粗細胞가 이 期에 처음으로 出現되었으며 核膜과 核質에 黑은 染色質塊가 散在되어 있는 特징을 나타내었다(Fig. 1).

第6期(Figs. 3, 9): 精子細胞의 head cap은 第5期에서보다 더 확대되어 核面의 $\frac{1}{3}$ 정도가 덮혀 있었으며 核小體는 球形의 모양을 상실하고 微細한 둥어리로 散在되어 있었다(Fig. 1). Step 14의 精子細胞(Fig. 1)는 第5期보다 더욱 内腔側에 위치하면서 일부 結束되거나 또는 腔側緣에서 離脫된 상태였다. B₂型精粗細胞에는 第5期의 B₁型精粗細胞보다 더 미세한 染色質 덩어리가 核內에 산재되어 있었고 A型精粗細胞와 第1精母細胞는 第5期에서 類似하였다.

第7期: Step 14의 精子細胞는 精細管上皮에서 離脫하여 消失되었으며 Step 7의 精子細胞는 acrosome이 核

面의 切半을 围복하였고 核內에는 미세한 염색질이 산재되어 있었다(Fig. 1). 또한 acrosome은 대부분 基底膜 쪽을 향하고 있었다. B型精粗細胞는 第6期에 비하여 많이 出現되었다(Table 1).

第8期(Figs. 4, 10): Step 8의 精子細胞의 核은 球形에서 橢圓形으로 變形되어 마치 도토리와 같은 모양이었으며 acrosome은 여전히 核面의 반쯤을 덮고 있었고 기저막 쪽을 향해 있었다. 第1精母細胞는 두 世代가 이 期에 출현되었으며 前細糸期와 肥糸期가 동시에 觀察되었다. 前者는 後者보다 더욱 基底膜 쪽에 接近하여 위치하고 있었으며 前細糸期의 核內에서는 미세한 染色質顆粒이 均等하게 관찰되었다.

第9期(Figs. 5, 11): 第8期에서 도토리와 같은 모양의 精子細胞가 이 期에는 탁구 배트形인 橢圓形核으로 變形되어 第1精母細胞사이에 다수 出現하여 特징적이었다. 肥糸期의 核은 다소 커져서 8 μm 정도였으며 細糸期의 核 속에는 chromatin filament가 形成되었고 核의 일부의 染色質은 관찰되지 않았다.

第10期: 精子細胞는 第9期에서와 같은 形狀이며 acrosome은 80%정도로 頭部를 围복하고 있었으며 頭部는 약 8 μm 의 길이였고 그 尖端에 부착된 突起는 1.5~2.0 μm 이었다. 核은 側面에서 보면 扁平한 모양으로 보였다. 精子細胞가 内腔에서 基底膜 쪽으로 이동하여 Sertoli細胞質속에 보통 4개씩 集束되어 있었다. 이와 같은 様相은 第9, 11期에서도 類似하였다. 肥糸期의 核은 여전히 커졌으나 接合期의 核은 6 μm 정도의

Table 1. Average Number of Germ and Sertoli Cell Nuclei at Various Stages of the Cycle of the Seminiferous Epithelium in the Testis of Korean Native Cattle* (Mean \pm S.E)

Stage of cycle	Sertoli cell**	Spermatogonia			Spermatocytes			Spermatids
		Type A	Intermediate	Type B	Young	Pachytene	Secondary	
I	20.9 \pm 0.6	1.8 \pm 0.2	4.6 \pm 0.1	—	—	16.9 \pm 0.4	—	65.3 \pm 1.6
II	22.1 \pm 0.4	1.9 \pm 0.1	4.6 \pm 0.1	—	—	17.3 \pm 0.4	—	70.0 \pm 1.1
III	22.1 \pm 0.6	2.0 \pm 0.1	4.5 \pm 0.1	—	—	17.6 \pm 0.4	—	63.3 \pm 1.4
IV	23.1 \pm 0.7	1.9 \pm 0.1	6.1 \pm 0.2	—	—	19.0 \pm 0.3	—	69.9 \pm 1.7
V	20.7 \pm 0.5	1.9 \pm 0.1	—	6.4 \pm 0.8	—	19.0 \pm 0.4	—	66.7 \pm 1.1
VI	21.0 \pm 0.5	1.8 \pm 0.1	—	7.8 \pm 0.2	—	18.1 \pm 0.4	—	68.9 \pm 1.3
VII	20.9 \pm 0.7	2.0 \pm 0.1	—	10.7 \pm 0.2	—	18.9 \pm 0.5	—	68.2 \pm 1.3
VIII	21.2 \pm 0.4	2.2 \pm 0.1	—	—	18.2 \pm 0.4	18.4 \pm 0.3	—	67.9 \pm 1.2
IX	21.7 \pm 0.6	2.6	0.2	—	18.8 \pm 0.4	19.4 \pm 0.4	—	—
X	20.7 \pm 0.6	3.0 \pm 0.1	—	—	18.4 \pm 0.4	18.5 \pm 0.3	—	—
XI	20.3 \pm 0.5	3.4 \pm 0.1	—	—	18.5 \pm 0.4	20.3 \pm 0.3	—	—
XII	19.8 \pm 0.5	4.4 \pm 0.1	—	—	18.1 \pm 0.3	—	40.1 \pm 0.5	—

*: Germ cell counts were corrected for differences in nuclear diameter by Abercrombie's formula.

**: Uncorrected counts.

크기를 가졌고 핵의 한쪽은 細糸期에서처럼 染色質이 보이지 않았으며 肥糸期의 핵보다 基底膜 쪽에 위치하였다. A型精祖細胞는 핵과 核小體周圍에 染色質顆粒이 많이 부착되어 있었다.

第11期(Figs. 6, 11) : 精子細胞의 核尖端에 있던 acrosome突起가 消失되고 그곳에 淡紅色의 초생달과 같은 모양의 희미한 운과이 부착되어 있어 이期의 특징을 나타내었다. 기타의 精細胞들은 前期와 비슷하나 接合期의 핵과 A型精祖細胞의 染色質이 다소 짙게 관찰되었다.

第12期(Figs. 7, 13) : 第2精母細胞가 이期에만 出現된 特徵을 나타내었으며 약 6 μm 크기의 球形核은 第1期에서 관찰된 球形核의 精子細胞보다 약간 크고 接合期의 핵보다 다소 작았다. 핵내에는 미세한 染色質이 散在하고 있었다. 精子細胞의 形狀은 前期와 恰似하나 초생달 모양의 운과이 약간 좁아졌고 그의 위치나 配列은 第11期와 비슷하였다. 接合期의 染色系는 다소 굽어졌고 A型精祖細胞의 核小體와 核質의 染色質顆粒은 여전히 짙게 나타났다.

精細管上皮週期別出現比 : 9頭의 犀丸組織에서 總 1,280個의 圓形精細管을 태하여 精細管上皮의 週期를 12期로 나누어 그 出現比를 조사한結果는 Table 2에서와 같다. 週期를 통하여 出現比가 가장 높은 것은 第8期로서 18.4%였으며 다음에는 第11期로 18.1%였다. 한편 최소의 출현비는 第5期에서 2.2%였고 다음에는 第12期에서 2.4%로 낮았다.

Table 2. Relative Frequency of the Stages of the Cycle of the Seminiferous Epithelium in the Testis of Korean Native Cattle

Stage of cycle	Hochereau-de Reviers(1970)	Berndston (1974)	Present study*
I	—	6.5	6.2
II	3.0	4.5	3.7
III	—	5.9	5.2
IV	7.4	7.0	7.8
V	9.3	2.5	2.2
VI	6.5	4.7	3.3
VII	12.5	14.9	13.8
VIII	17.6	17.8	18.4
IX	12.7	11.6	11.8
X	12.4	6.6	7.2
XI	12.8	17.4	18.1
XII	5.8	0.6	2.4

* : The values represent the percentage of all Seminiferous tubules examined which appeared in the given stage.

Table 3. Ratios of Germ Cell Nuclei During Spermatogenesis in the Testis of Korean Native Cattle

Ratio of cell types*	Hochereau-de Reviers(1970)	Berndston (1974)	Present study**
Ab : Ap	1 : 3.2	1 : 3.5	1 : 2.3
Ab : In	1 : 3.6	1 : 3.8	1 : 2.6
Ab : B ₁	1 : 6.0	1 : 5.4	1 : 3.6
Ab : B ₂	1 : 9.4	1 : 9.1	1 : 5.9
Ab : 1°	1 : 16.0	1 : 18.2	1 : 10.6
Ab : 2°	—	1 : 34.3	1 : 22.3
Ab : Sp	—	1 : 54.7	1 : 37.5

* : Ab : The lowest mean number of type A spermatogonia.

Ap : The peak number of type A spermatogonia.

In : Intermediate spermatogonia.

B₁ : Type B₁ spermatogonia.

B₂ : Type B₂ spermatogonia.

1° : Primary spermatocyte.

2° : Secondary spermatocyte.

Sp : Round spermatids.

** : Corrected cell counts used to calculate cell ratios were obtained as follows: Ab and Ap: Represent the number of type A spermatogonia in stage I, VI and XII, respectively. In: Corresponds to the mean number of intermediate spermatogonia in stages I to III. B₁: B₁ spermatogonia stage of V. B₂: B₂ spermatogonia in stage VII. 1°: Equals the mean number of primary spermatocytes in stage VIII to XI. Sp: The mean number of round spermatids in stage I to VII.

精細管上皮의 各種 精細胞數 : 精細管上皮에 나타난 精子發生週期에서 12期의 各期마다 50개 이상의 圓形精細管 總 670개를 태하여 精細胞系의 核數를 Table 1에 表示하였다.

A型精祖細數는 第1, 6期에서 平均 1.8로서 最低였고 第12期에서는 4.2로서 最高로 出現되었다. 그리고 第1期에서 第7期까지는 1.8에서 2.0까지의 僅少한 차이였으나 第8期와 第12期 사이는 2.6에서 4.2의 급격한 增加를 보였다.

한편 第12期에서 A型精祖細胞의 일부는 다음의 第1期에서 In型精祖細胞로 分化되고 동시에 1.8의 休息중의 A型精祖細胞가 남았다. 따라서 第12期와 第1期사이에 減數된 A型精祖細胞가 2.4(4.2~1.8)로 나타났다. In型精祖細胞는 第1期와 第3期사이에 4.6~4.5로서 거의 비슷한 수로 출현되었으나 第4期에서는 6.1로서 최고의 출현을 나타냈으며 第5期이후에는 관찰되지 않았다. 第4期末에 해당된 精細管에서는 B₁型精祖細胞로 移行된 상태였으나 In型精祖細胞로 간주하여 계산하였다. 第4期에서 In型精祖細胞는 分裂 후 第

5期부터 B型精祖細胞가 출현되고 第7期까지 사이에 각각 平均數 6.4, 7.8, 10.7의 順으로 增加하였다. 따라서 In型精祖細胞가 B型精祖細胞의 最高平均數 10.7로 分化되는 과정에서 1回이상의 細胞分裂이 있었음을 示唆하였다. 第7期末에 평균수 10.7의 B型精祖細胞가 분열하여 第8期에는 18.2의 第1精母細胞 細糸期의 核이 出現되었다. 이 結果는 B型精祖細胞가 10.7의 倍數인 21.4의 第1精母細胞로 分裂후 新生될 理論上의 數值였으나 實地 18.2로 出現되었음을 3.2(21.4~18.2)에 해당된 세포수가 第1精母細胞로 分化도중 變性, 消失되었음을 시사하였다.

第1精母細胞의 幼若期인 前細糸期, 細糸期, 接合期의 核은 第8期에서 第12期까지 관찰되었고 그 出現數는 18수준에서 거의 变動이 없었다. 한편 成熟期인 肥糸期의 細胞는 第1期에서 第11期에 이르는 긴 分裂過程에서 核數가 平均 16.9~20.3의 범위로서 근소한 出現差를 보였다. 第11期에서 20.3의 第1精母細胞가 分裂하여 第12期에서 40.1의 倍數에 가까운 第2精母細胞의 출현을 보였다. 이때 第12期에 해당된 精細管上皮는 圓形精細管 全體에 均一하게 이期의 特徵을 보인 것이稀少하였다. 第2精死細胞는 第12期에서 분열하여 第1期에서 65.3의 球形核의 精子細胞(step 1)가新生하였다. Sertoli세포는 精細管週期의 各期를 통하여 平均數 最低 19.8에서 最高 23.1로서 그 出現數에 큰 變動이 없었다. 이 細胞의 核은 不正形의 것이 많았기 때문에 크기의 계측에 정확을 기할 수 없었다 (Table 1).

考 察

韓牛의 性成熟期中 精細管上皮에 出現된 精細胞系를 發育중인 精子細胞의 acrosome系의 形態變化와 精細胞의 形態의 特徵과 出現에 따라 12期로 分類하여 관찰하였다. 分類基準은 Berndston과 Desjardins(1974)의 Hereford와 Angus牛種의 精細管上皮의 週期에 대한 研究方法을 爲主로 하고 그 밖의 研究를 참고로 하였다.

本實驗에서 조사된 A型精祖細胞는 한 週期를 통하여 最低출현수가 第1, 6期에서 평균수 1.8이었고 最高는 第12期에서 4.2로 나타났다. Berndston과 Desjardins(1974)의 보고에 비하면 最高數에서는 같았으나 最低數에서는 본 실험에서 0.6의 더 많은 出現을 보였다. 精細管上皮의 基底膜에 따라서 配列된 A型精祖細胞는 각종 精祖細胞中 명확하게 관찰된 세포임으로 이와 같은 差異는 對象牛의 品種, 年齡 또는 氣候 등과 기타의 要因에 의한 것인지 不明하다. 따라서 이는 精細胞 核數의 比率에서 보인 A型精祖細胞의 基礎數(最低數)가 많았

기 때문에 基礎數 對 他精細胞數사이의 比率幅이 적게 나타난 傾向을 보였기 때문으로 사려된다. 즉 본 조사에서의 1:2.3보다 Berndston과 Desjardins(1974)의 1:3.5의 比率은 52%의 細胞增殖을 보였고, Hochereau-de Reviers(1970)의 관찰도 이에 비슷하였으나 Amann(1962)은 1:2.2로서 본 조사성과 類似하였다.

第12期에서 출현된 A型精祖細胞는 4.2이며 다음의 第1期에서는 1.8로 減少되었다. 따라서 그 출현차인 2.4(4.2~1.8)의 A型精祖細胞는 分裂후 第1期에서 4.8의 新生 In型精祖細胞가 出現될 세포수였으나 실지 0.2가 減少된 4.6으로 나타났음을 分裂過程에서 細胞變性을 일으킨 것으로 推測된다. 이와 같은 現象은 다음의 몇 단계에 걸친 細胞增殖過程에서도 認定되었다. 즉 A型精祖細胞와 In型精祖細胞의 세포수 비율에서도 유사한 傾向이 인정되었고 In型精祖細胞와 다음世代의 B型精細胞와의 비율에서도 동일한 결과를 보였다. 後者の 경우는 In型精祖細胞와 B型精祖細胞와의 移行型이 識別이 困難하다는 Berndston과 Desjardins(1974)의 見解에 首肯이 갔았다.

B₂精祖細胞에서 第1精母細胞의 前細糸期로 分열하는 과정에서는 Berndston과 Desjardins(1974)의 보고에 의하면 10.9에서 20.8의 출현수였으나 본 조사에서는 10.7에서 18.2의 출현수를 나타내고 있어 본 조사에서 細胞變性이 약 10%가 더 많았음을 시사하였다. 한편 第1精母細胞에서 第2精母細胞로 分裂하는 과정에서는 본 조사에서 1.2%의 細胞變性率인데 비하여 동 보고에는 6%의 더 높은 變性率를 보여 對照的이었다. 한편 第2精母細胞에서 精子細胞로 成熟分裂하는 과정에서 新生精子細胞의 數보다 약 20%가 감소되었다는 Berndston과 Desjardins(1974)의 보고와 본 실험에서 약 19%의 감소를 보였던 결과와는 類似하였다. 이와 같은 調查結果는 Ortavant(1958), Swierstra 등(1966)이나 Amann(1962)이 조사한 成熟分裂과정에서의 보고에서도 인정되었다. Amann(1962)과 Ortavant(1959)는 소의 精子發生중 細胞分裂의 5가지段階가 있음을 보고하였다. 그후 Hochereau-de Reviers(1970)는 ³H-thymidine 標識法으로 精細胞의 細胞分裂過程을 실험한 결과 6가지段階의 分裂期가 있음을 示唆하였고 B型精祖細胞에 두 世代가 있음을 주장하였다. Berndston과 Desjardins(1974)의 실험에서도 首肯한 바와 같이 韓牛의 B型精祖細胞에도 染色質塊의 稠密狀態와 痕皮形成의 差異에 의한 두 世代 즉 B₁, B₂精祖細胞가 불분명하게나마 区別되어 관찰되었다. 그리고 본 조사에서도 精祖細胞로부터 精子細胞까지 分化하는 과정에서 6가지 단계의 分裂期를 推測할 수 있었다.

본 조사에서 成熟精子의 精細管 管腔에서의 離脫은 第7期에서 확실하였으며 한週期를 12期나 14期로 分類하는 다른 보고와도 같은 樣相이었다. Ortavant(19

59), 李載洪 등(1985)의 연구처럼 1週期를 8期로 나누는 方法에서는 第1期에서 成熟精子의 이탈을 관찰할 수 있었고 본 연구에서 분류한 第7期에 해당되었다.

精細管上皮의 週期를 12期로 나누어 그 出現比를 조사하였던 바 대체로 Berndston과 Desjardins(1974)의 出現比와 유사한 결과를 얻었으나 第12期에서는 본 연구에서 2.4%인데 대하여 0.6%의 低調한 出現比를 보여 對照의 이었다. Hochereau-de Reviers(1970)나 Amann(1962)의 조사에 비하면 第12期에서 第3期까지이 出現比의 合計가 각각 8.8%, 12%인데 비하여 본 연구에서는 17.4%로 더 많은 出現率을 보였고 Berndston과 Desjardins(1974)의 17.5%와는 類似한 出現率을 나타내었다. 以上과 같이 精細管上皮의 週期에 나타난 精細细胞組成이나 各期의 出現比에 있어서 動物種의 差異는 물론 같은 牛種에서도 品種에 따라 多少의 特異性을 暗示함을 認定할 수 있었다.

結論

成熟한 韓牛睾丸의 精細管上皮의 週期를 精細细胞의 核

과 發生중인 精子細胞의 核 및 acrosome系의 形態變化를 基準으로 12期로 分類하여 다음과 같은 結果를 얻었다.

1. A型精祖細胞의 最低數는 第1, 6期에서 각각 平均數 1.8이며 最高數는 第12期에서 4.2로 나타났다. 第12期에서 일부의 A型精祖細胞는 分離하여 다음의 第1期에서 In型(中間型)精祖細胞로 出現되었다. 第4期에서 In型精祖細胞는 分離하여 第5期에서 B型精祖細胞로 出現되었다.

2. 第1精母細胞의 前細糸期는 第7期에서 B型精祖細胞가 分離하여 第8期에서 出現되었다. 第1精母細胞의 肥糸期는 第11期에서 分離하여 第12期에는 第2精母細胞가 관찰되었다. 第12期에서 관찰되었던 第2精母細胞는 分離하여 다음의 第1期에서 圓形核의 精子細胞로 出現되었다. 第1精母細胞와 圓形의 精子細胞의 平均數는 精細管의 週期를 통하여 거의 一定하게 나타났다.

3. 精細管上皮의 週期에서 第1期부터 第12期까지의 出現比는 각각 6, 3.7, 5.2, 7.8, 2.2, 3.3, 13.8, 18.4, 11.8, 7.2, 18.1 및 2.4%였다.

Legends for Figures

Fig. 1. Drawings illustrate the steps of spermatogenesis in Korean native cattle. The table gives the cellular composition of stages of the cycle of the seminiferous epithelium.

Plate 1. Drawings representing diagrammatically the cellular composition and topography of stage I (Fig. 2), VI (Fig. 3), VII (Fig. 4), IX (Fig. 5), XI (Fig. 6) and XIII (Fig. 7), respectively.

Plate 2. Microphotographs of seminiferous tubules from Korean native cattle. $\times 1000$.

Fig. 8. Stage L. Type A spermatogonia and intermediate spermatogonia were located on the basement membrane, step 1 spermatids were arranged longitudinally.

Fig. 9. Stage VI. Type A and B spermatogonia were approached to the basement membrane. The acrosome of step 6 spermatid was oriented to the basement membrane. Spermatozoa (step 14 spermatids) lined the tubule lumen and partially released.

Fig. 10. Stage VII. Spermatozoa (step 14 spermatids) had not appeared, but two generations (PL, P) were present. Type A spermatogonia and Sertoli cells were observed on the basement membrane.

Fig. 11. Stage IX. Step 9 spermatids (enlarged form), leptotene and pachytene primary spermatocytes were appeared.

Fig. 12. Stage XI. It was shown that each Sertoli cell was associated respectively with 4 spermatids of step 11.

Fig. 13. Stage XIII. Secondary spermatocytes were observed.

Abbreviation in Figures

A : Type A spermatogonium

BM : Basement membrane

L : Leptotene primary spermatocyte

P : Pachytene primary spermatocyte

Z : Zygote primary spermatocyte

1-14 : Steps of spermiogenesis(reproduced from Berndstom & Desjardins, 1974)

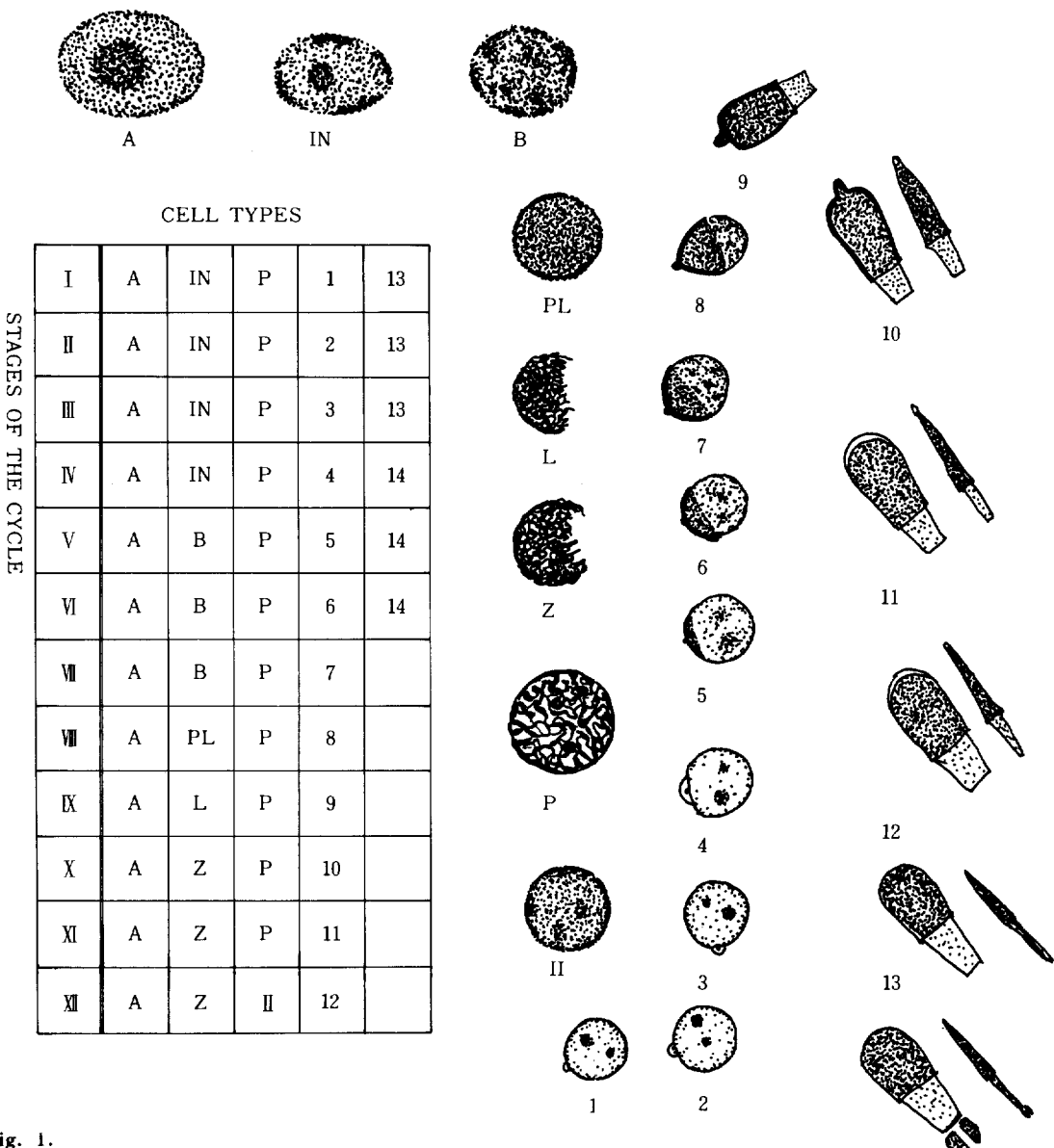


Fig. 1.

PLATE 1.

Fig. 2(STAGE I)

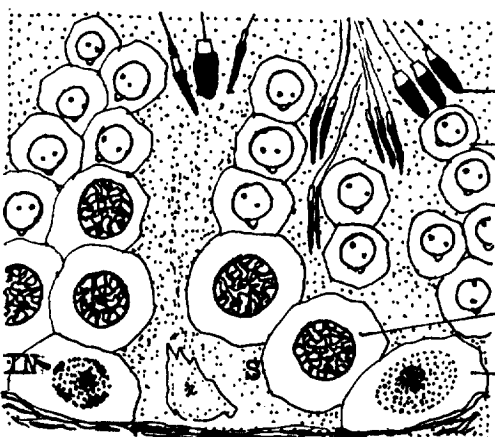


Fig. 3(STAGE VI)

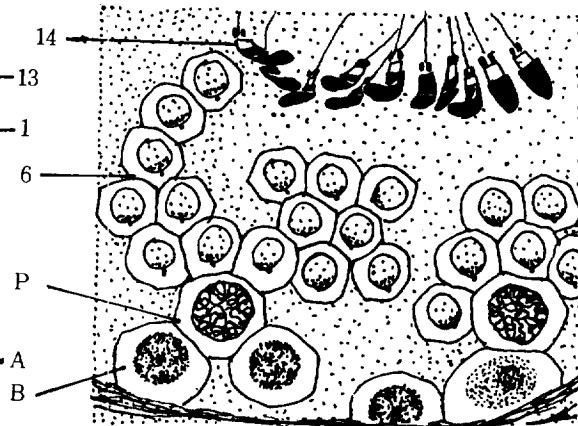


Fig. 4(STAGE VII)

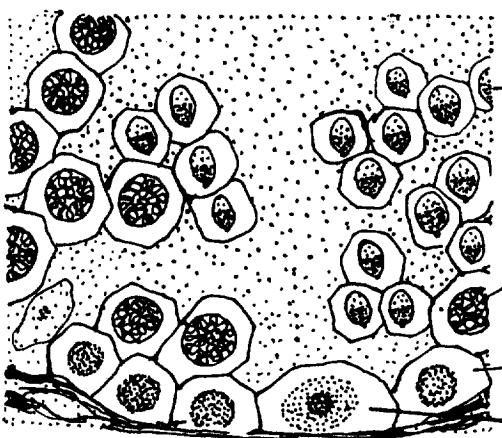


Fig. 5(STAGE IX)

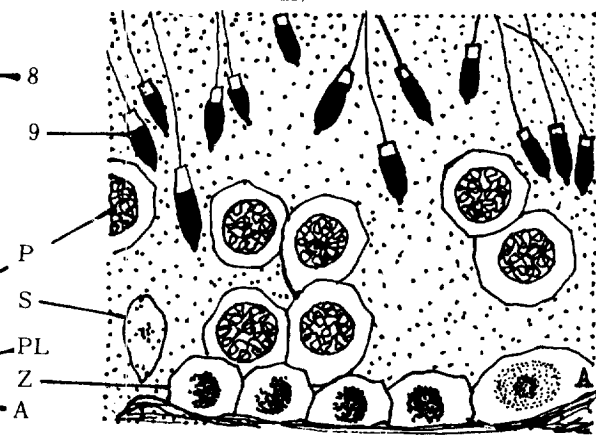


Fig. 6(STAGE XI)

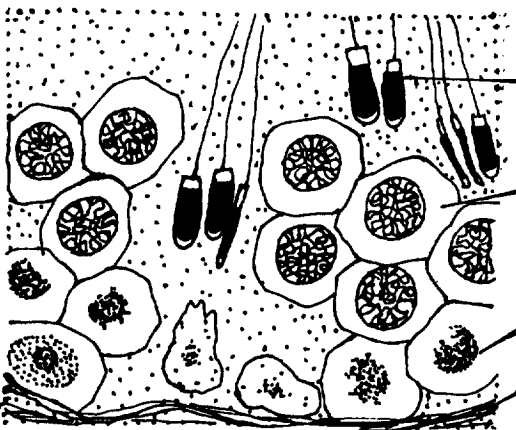


Fig. 7(STAGE XII)

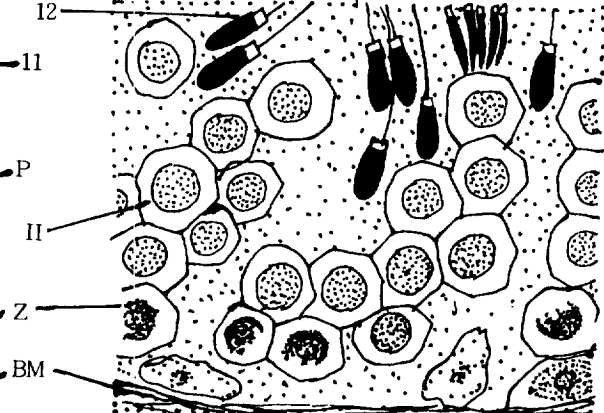


PLATE 2

Fig. 8(STAGE I)

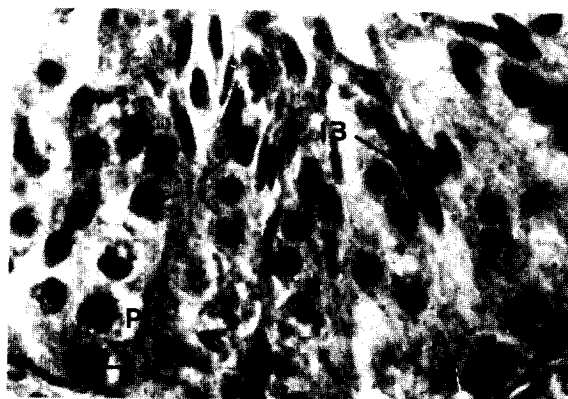


Fig. 9(STAGE VI)

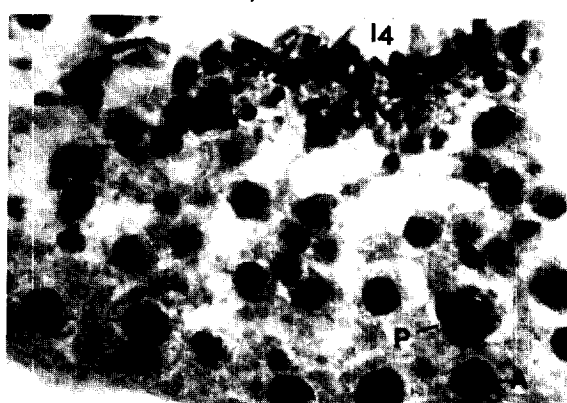


Fig. 10(STAGE VIII)

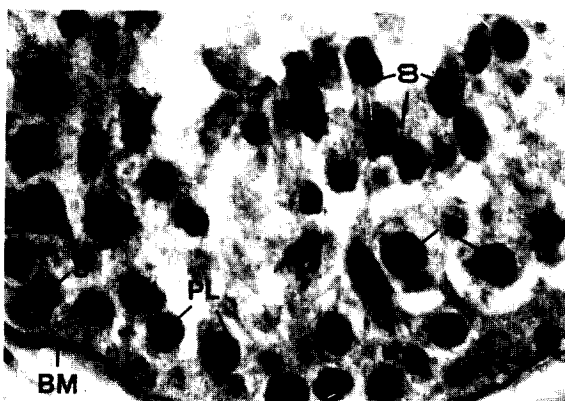


Fig. 11(STAGE IX)

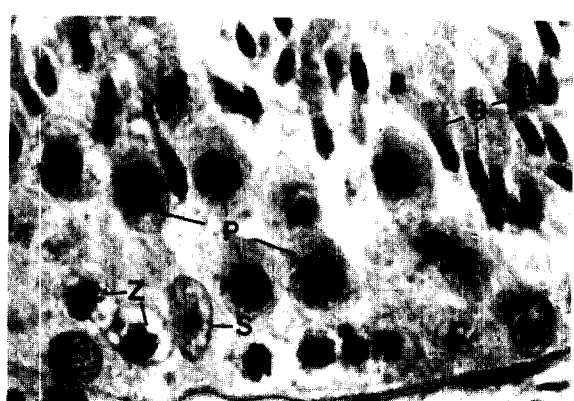


Fig. 12(STAGE XI)

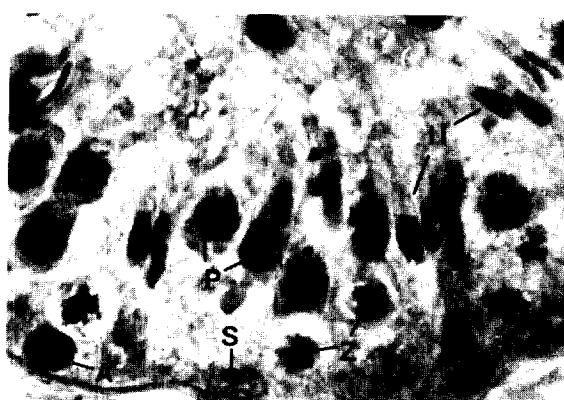
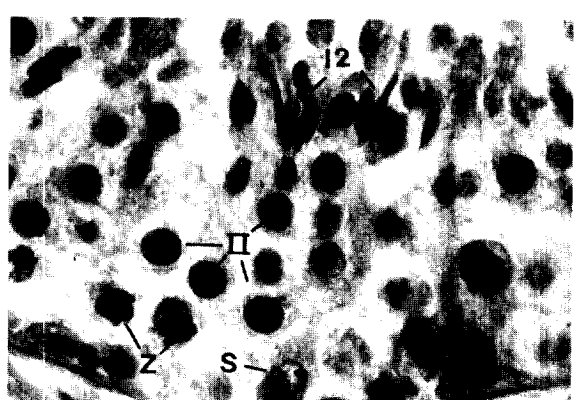


Fig. 13(STAGE XII)



参考文献

- Abercrombie, M. (1946) Estimation of nuclear population from microtome sections. *Anat. Rec.*, 4:238~248.
- Amann, R. P. (1962a) Reproductive capacity of dairy bulls. II. The effect of ejaculation frequency, unilateral vasectomy and age on spermatogenesis. *Am. J. Anat.*, 110:49~67.
- Amann, R. P. (1962b) Reproductive capacity of dairy bulls. IV. Spermatogenesis and testicular germ cell degeneration. *Am. J. Anat.*, 110:69~78.
- Berndston, W.E. and Desjardins, C. (1974) The cycle of the seminiferous epithelium and spermatogenesis in the bovine testis. *Am. J. Anat.*, 140:167~80.
- Clermont, Y. and Leblond, C.P. (1955) Spergenesis of man, monkey, ram and other mammals as shown by the "periodic acid-Schiff" technique. *Am. J. Anat.*, 96:229~254.
- Clermont, Y. and Perey, B. (1957) Quantitative study of the cell population of the seminiferous tubules in immature rats. *Am. J. Anat.*, 100:241~60.
- Clermont, Y. (1960) Cycle of the seminiferous epithelium of the quinea pig. *Fertil. Steril.*, 11:563~73.
- Clermont, Y. (1962) Quantitative analysis of spermatogenesis in the rat: a revised model for the renewal of spermatogonia. *Am. J. Anat.*, 111, 111~29.
- Clermont, Y. (1972) Kinetics of spermatogenesis in mammals: Seminiferous epithelium cycle and spermatogonial renewal. *Physiol. Rev.*, 52: 198~236.
- Curtis, S.K. and Amann, R.P. (1981) Testicular development and establishment of spermatogenesis in holstein bulls. *Anim. Sci.*, 53:1645~1657.
- Hochereau-de Reviers, M.T. (1970) Etudes des divisions spermatogoniales et du renouvellement de la spermatogonie souche chez le taureau. D. Sc. Thesis, Univ. of Paris, Paris.
- Leblond, C.P. and Clermont, Y. (1952a) Spermiogenesis of rat, mouse, hamster and guinea pig as revealed by the periodic acid-fuchsin sulfurous acid technique. *Am. J. Anat.*, 90:167~215.
- Leblond, C.P. and Clermont, Y. (1952b) Definition of the stages of the cycle of the seminiferous epithelium in the rat. *Ann. N.Y. Acad. Sci.*, 55:548~73.
- McManus, T.F.A. and Mowry, R.W. (1960) Staining methods, histologic and histochemical, Paul, IB. Hoeber Inc. New York p. 156.
- Oakberg, E.F. (1956) Duration of spermatogenesis in the mouse and timing of stages of the cycle of the seminiferous epithelium. *Am. J. Anat.*, 99:507~16.
- Ortavant, R. (1958) Le cycle spermatogenetique chez belier. D. Sc. Thesis, University of Paris, Paris.
- Ortavant, R. (1959) Spermatogenesis and morphology of the spermatozoon. In *Reproduction in Domestic Animals*, eds. H.H. Cole and P.T. Cupps, 1st ed. New York Academic Press, pp. 1~50.
- Roosen-Runge, E.C. and Giesel, L.O. (1950) Quantitative studies on spermatogenesis in the albino rat. *Am. J. Anat.*, 87:1~30.
- Steinbeger, E. (1971) Hormonal control of mammalian spermatogenesis. *Physiol. Rev.*, 51:1~22.
- Swierstra, E.E. and Foote, R.H. (1963) Cytology kinetics of spermatogenesis in the rabbit. *J. Reprod. Fertil.*, 5:309~322.
- Swierstra, E.E. (1968) Cytology and duration of the cycle of the seminiferous epithelium of the boar, duration of spermatozoon transit through the epididymis. *Anat. Rec.*, 161:171~86.
- Swierstra, E.E., Whitefield, J.W. and Foote R.H. (1964) Action of amphotericin B (fungizone) on spermatogenesis in the rabbit. *J. Reprod. Fert.*, 7:13~19.
- Swierstra, E.E. (1966) Structural composition of Shorthorn bull testes and daily spermatozoon production as determined by quantitative testicular histology. *Canad. J. Animal Sci.*, 46:107~119.
- Wing, T.Y. and Christensen, K.A. (1982) Morphometric studies on rat seminiferous tubules. *Am. J. Anat.*, 165:13~25.
- 李載洪, 李芳煥, 李成鎬(1985) 韓國在來山羊의 精子發生에 관한 研究. 大韓獸醫學會誌, 25:91~102.